



A quantitative gamma-ray spectrometric airborne geophysical survey of Southern Alberta, Southern Saskatchewan, and Western Manitoba was made by Fugro Airborne Surveys. The survey was flown from August 4 to September 20, 2010 along a Cesna 208B Caravan aircraft (C-GNCA) and a Cessna 404 Caravan aircraft (C-FYAU). The nominal traverse line spacing was 500 m, and the aircraft flew at a nominal terrain clearance of 150 m at an air speed between 200 and 270 km/h. Traverse lines were oriented 90°. The flight path was recovered following post-flight differential corrections to raw data recorded by a Global Positioning System.

## Gamma-ray Spectrometric Data

The airborne gamma-ray measurements were made with Exploranium GR8200 gamma-ray spectrometers. Each detector system consisted of twelve crystals (total volume 50.4 litres). Two crystals (total volume 8.4 litres), shielded by the main arrays, were used to detect variations in background radiation caused by atmospheric radar. The systems constantly monitored the natural thorium peak for each crystal, and using a Gaussian least square algorithm, adjusted the gain for each crystal.

Potassium is measured directly by the 1460 keV gamma-ray photons emitted by  $K^{40}$ , whereas uranium and thorium are measured indirectly from gamma photons emitted by their decay products ( $U^{238}$  for uranium and  $T^{232}$  for thorium). All three of these isotopes are taken down their respective decay chains; they are assumed to be in equilibrium with their parents; thus gamma-ray spectrometric measurements of uranium and thorium are referred to as equivalent uranium and equivalent thorium, i.e.  $eU$  and  $eTh$ . The energy windows used to measure potassium, uranium and thorium are, respectively, 1370 – 1570 keV, 1660 – 1860 keV, and 2410 – 2810 keV.

Gamma-ray spectra were recorded at one-second intervals. During processing, the spectra were energy binned, and the counts were accumulated into the windows described above. Corrections for the radar detectors were made in a 1000 – 1800 keV energy range, and the background activity from the aircraft and atmospheric radar decay products. The window data were then corrected for spectral scattering in the ground, air and detectors. Corrections for deviations from the planned terrain clearance and for variation of temperature and pressure were made prior to conversion to ground concentrations of potassium, uranium and thorium, using factors determined from flights over the Breckenridge, Colorado calibration range. The factors for potassium, uranium and thorium were, respectively, 74.93 cps/km, 7.47 cps/km, and 4.26 cps/km for C-FYAU and 78.92 cps/km, 6.07 cps/km, and 5.32 cps/km for C-GNCA.

Corrected data were filtered and interpolated to a 500 m grid interval. The results of an airborne gamma-ray spectrometer survey represent the average surface concentrations of potassium, uranium and thorium in the top few centimetres of the soil or surface water. As a result, the measured concentrations are usually lower than the actual bedrock concentrations. The natural air absorbed dose rate in the field was also computed from the measured concentrations of potassium, uranium, and thorium. A more comprehensive description of airborne gamma-ray spectrometry surveys including technical specifications, instrumentation, calibration, data processing and interpretation is covered by Grasty et al., (1991), Grasty and Minty (1995), and the International Atomic Energy Agency (2003) and references therein.

## LEVÉ GÉOPHYSIQUE AÉROPORTÉ

Un levé géophysique aéroporté de spectroscopie gamma a été réalisé dans le sud de l'Alberta, le sud de la Saskatchewan, et le centre-ouest du Manitoba pour déterminer les concentrations naturelles de potassium, d'uranium et de thorium à la surface. À la fin de l'été, un avion Cessna 208B Caravan (C-GNCA) et un Cessna 404 Caravan (C-FYAU). L'itinéraire normal des lignes de vol était de 500 m, alors que l'altitude nominale de vol était de 150 m au-dessus du sol et que la vitesse était de 200 à 270 km/h. Les lignes de vol étaient orientées à 90°. La trajectoire de vol a été restituée par l'application après le vol de corrections différentes aux données brutes enregistrées avec un récepteur GPS.

## Données de spectroscopie gamma

Les mesures du rayonnement gamma ont été effectuées respectivement à l'aide d'un spectroscopie gamma Exploranium GR8200 utilisant plusieurs cristalles de Nal (Tl) de 102 x 102 x 406 mm. Le réseau de capteurs se compose de douze cristaux (volume total de 50.4 litres), protégés par le réseau principal, ont été utilisés pour déceler les variations du rayonnement naturel causées par le rayonnement atmosphérique. Le système a également été utilisé pour faire un suivi continu des thèmes pour chaque des cristaux et, au moyen d'un algorithme d'ajustement, ajuster la gain pour chaque cristal.

Le potassium est mesuré directement d'après les photons gamma de 1460 keV émis par le  $K^{40}$ ; tandis que l'uranium et le thorium sont mesurés indirectement d'après les photons gamma émis par des produits de filtration ( $U^{238}$  pour l'uranium et  $T^{232}$  pour le thorium). Bien que ces radionucléides de filtre se trouvent l'un dans leur chaîne respective de désintégration, on presume qu'ils sont en équilibre avec leur radionucléide père; ainsi, les mesures spectrométriques du rayonnement gamma de l'uranium et du thorium sont désignées comme des équivalents d'uranium et des équivalents de thorium, respectivement.

Les spectres de rayonnement gamma ont été enregistrés pendant des intervalles d'une seconde. Pendant le traitement, les spectres ont été courbés à un étalonnage énergétique et les coups ont été cumulés dans des plages décrivées ci-dessous. Les coups obtenus à l'aide des capteurs de radon ont été enregistrés dans la plage de 1660 à 1860 keV et le rayonnement de radon supérieurs à 3000 keV a été enregistré dans la plage de 2410 à 2810 keV. Les corrections pour les variations de l'atmosphère et de la radiaction cosmique, de la radiaction de l'aéronef et des produits de désintégration du radon atmosphérique. Les données pour les plages ont ensuite été corrigées pour tenir compte de la diffusion spectrale dans le sol, l'air et les capteurs. Les corrections pour les écarts à la hauteur de vol peuvent être appliquées aux résultats obtenus lors de vols effectués au-dessus d'une bande d'étonnage à Breckenridge, Québec. Les facteurs déterminés pour le potassium, l'uranium et le thorium étaient respectivement de 78.92 cps%, 6.07 cps/km, et 5.32 cps/km pour C-GNCA et de 74.39 cps%, 7.47 cps/km, et 4.83 cps/km pour C-FYAU.

Un filtre a été appliqué aux données de spectrométrie de plages, qui ont ensuite été interpolées suivant une grille de 500 m. Les résultats d'un levé aérien de spectrométrie de plages sont donc influencés par les conditions météorologiques et les caractéristiques de la couverture végétale et de l'eau de surface. Cependant, les concentrations mesurées sont habituellement plus faibles que les concentrations réelles dans le substratum rocheux. Le débit naturel de la dose absorbée par l'air, en manométrie à l'heure, a été déterminé d'après les pressions mesurées dans les sondes de dosimétrie de diffusion dans le sol, l'air et les capteurs. Les corrections pour les écarts à la hauteur de vol peuvent être appliquées aux résultats obtenus lors de vols effectués au-dessus d'une bande d'étonnage à Breckenridge, Québec. Les facteurs déterminés pour le potassium, l'uranium et le thorium étaient respectivement de 78.92 cps%, 6.07 cps/km, et 5.32 cps/km pour C-GNCA et de 74.39 cps%, 7.47 cps/km, et 4.83 cps/km pour C-FYAU.

Un filtre a été appliquée aux données de spectrométrie de plages, qui ont ensuite été interpolées suivant une grille de 500 m. Les résultats d'un levé aérien de spectrométrie de plages sont donc influencés par les conditions météorologiques et les caractéristiques de la couverture végétale et de l'eau de surface. Cependant, les concentrations mesurées sont habituellement plus faibles que les concentrations réelles dans le substratum rocheux. Le débit naturel de la dose absorbée par l'air, en manométrie à l'heure, a été déterminé d'après les pressions mesurées dans les sondes de dosimétrie de diffusion dans le sol, l'air et les capteurs. Les corrections pour les écarts à la hauteur de vol peuvent être appliquées aux résultats obtenus lors de vols effectués au-dessus d'une bande d'étonnage à Breckenridge, Québec. Les facteurs déterminés pour le potassium, l'uranium et le thorium étaient respectivement de 78.92 cps%, 6.07 cps/km, et 5.32 cps/km pour C-GNCA et de 74.39 cps%, 7.47 cps/km, et 4.83 cps/km pour C-FYAU.

Un filtre a été appliquée aux données de spectrométrie de plages, qui ont ensuite été interpolées suivant une grille de 500 m. Les résultats d'un levé aérien de spectrométrie de plages sont donc influencés par les conditions météorologiques et les caractéristiques de la couverture végétale et de l'eau de surface. Cependant, les concentrations mesurées sont habituellement plus faibles que les concentrations réelles dans le substratum rocheux. Le débit naturel de la dose absorbée par l'air, en manométrie à l'heure, a été déterminé d'après les pressions mesurées dans les sondes de dosimétrie de diffusion dans le sol, l'air et les capteurs. Les corrections pour les écarts à la hauteur de vol peuvent être appliquées aux résultats obtenus lors de vols effectués au-dessus d'une bande d'étonnage à Breckenridge, Québec. Les facteurs déterminés pour le potassium, l'uranium et le thorium étaient respectivement de 78.92 cps%, 6.07 cps/km, et 5.32 cps/km pour C-GNCA et de 74.39 cps%, 7.47 cps/km, et 4.83 cps/km pour C-FYAU.

Un filtre a été appliquée aux données de spectrométrie de plages, qui ont ensuite été interpolées suivant une grille de 500 m. Les résultats d'un levé aérien de spectrométrie de plages sont donc influencés par les conditions météorologiques et les caractéristiques de la couverture végétale et de l'eau de surface. Cependant, les concentrations mesurées sont habituellement plus faibles que les concentrations réelles dans le substratum rocheux. Le débit naturel de la dose absorbée par l'air, en manométrie à l'heure, a été déterminé d'après les pressions mesurées dans les sondes de dosimétrie de diffusion dans le sol, l'air et les capteurs. Les corrections pour les écarts à la hauteur de vol peuvent être appliquées aux résultats obtenus lors de vols effectués au-dessus d'une bande d'étonnage à Breckenridge, Québec. Les facteurs déterminés pour le potassium, l'uranium et le thorium étaient respectivement de 78.92 cps%, 6.07 cps/km, et 5.32 cps/km pour C-GNCA et de 74.39 cps%, 7.47 cps/km, et 4.83 cps/km pour C-FYAU.

## References/Références

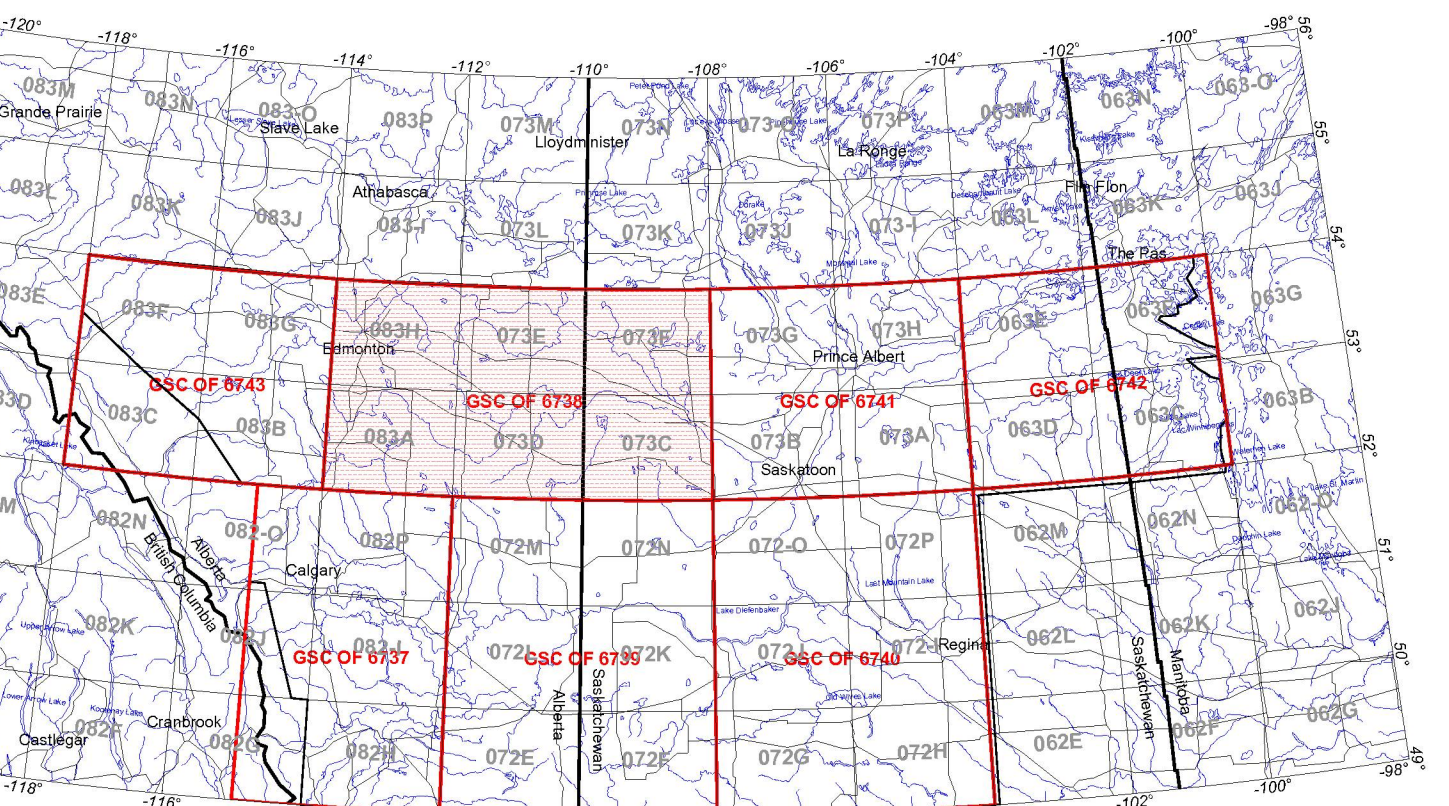
Grasty, R.L., Melander, H. and Parker, M. (1991) Airborne Gamma-ray spectrometer surveying: International Atomic Energy Agency, Technical Report Series 323, Vienna, 97 p.

Grasty, R.L. and Minty, B.R.S. (1995) A guide to the technical specifications for airborne gamma-ray surveys; Australian Geological Survey Organisation, Recov 1995/60, 89 p.

International Atomic Energy Agency. 2003. Guidelines for radiometric mapping using gamma ray spectrometry. IAEA-TECDOC-1363, 173p.

## PLANIMETRIC SYMBOLS / SYMBOLES PLANIMÉTRIQUES

Roads		Routes
Railway		Chemin de fer
Power Line		Ligne de transport d'énergie
Drainage		Drainage
Flight path		Ligne de Vol



## NATIONAL TOPOGRAPHIC SYSTEM REFERENCE AND GEOGRAPHICAL MAP INDEX / SYSTÈME NATIONAL DE RÉFÉRENCE CARTOGRAPHIQUE ET INDEX DES CARTES GÉOPHYSIQUES

## AIRBORNE GEOPHYSICAL SURVEY, WAINWRIGHT, ALBERTA-SASKATCHEWAN

## LEVÉ GÉOPHYSIQUE AÉROPORTÉ, WAINWRIGHT, ALBERTA-SASKATCHEWAN

## MAP SHEET SUMMARY / COMMANDE DES FEUILLETS

## GSC Sheet / CGC Feuillet

- Natural Air Absorbed Dose Rate
- Faux absorbé naturel des rayons gamma dans l'air
- Potassium
- Uranium
- Thorium
- Uranium / Thorium
- Uranium / Potassium
- Ternary Radioluminescence Map
- Diagramme ternaire des radioléments

Open files are products that have not gone through the formal publication process.

The dossier public sont des produits qui sont en cours de processus officiel de publication de la CGC.

2011

SHEET 2 OF 2

FEUILLET 2 DE 2

Recommended citation:

Carson, J.M., Ford, K.L., Hefford, S., Fortin, R. and Harvey, B.J.A., 2011.

Airborne Geophysical Survey, Wainwright, Alberta-Saskatchewan, Geological Survey of Canada, Open File 6738.

Notation bibliographique conseillée:

Carson, J.M., Ford, K.L., Hefford, S., Fortin, R. et Harvey, B.J.A., 2011.

Levée géophysique aéroportée, Wainwright, Alberta-Saskatchewan, Commission géologique du Canada, Dossier public 6738.

Commission géologique du Canada, Dossier